

## 断層モデルを適用した長周期構造物の地震応答

○松原勝己(商組), 井上康介(東大・院), 藤野陽三(筑波大)

## 1. まえがき

現在の地震工学では、動的応答解析に必要不可欠の入力地震動に地震現象の物理的メカニズムを考慮したものには数少ない。そこで、本論文では地震は断層の破壊であるとする地震学上の定説に従い、近年急速に発展しつつある断層モデルの1つを用い、理論波形を計算した。地震工学上興味ある周期領域で、短周期地動(周期1秒程度以下)を発生させる断層モデルの決定版はまだないと言つてよいが、やや長周期領域(周期数秒～10数秒)についてはいわゆる正規モード解を用ひたことがなりの成果を上げることが最近の研究で明らかとなつていい。本論文は、工学的に重要なマグニチュード8クラスの巨大地震に対し、その破壊様式をモデル化することにより上記の方法を適用して地動の予測を試み、合わせてそれによる応答スペクトルも考察した。やや長周期領域では、最近の長大構造物の建設に伴い、重複性を増していふと思われるが、現行のSMACでは、この領域の精度良い記録を得ることが困難であることを考へると、本論文のアプローチも一方法と言える。

## 2. 正規モード理論

図-1のような平行層構造をなす場合のいわゆる正規モード解の表示を結果のみ以下に示す。断層は長さL、幅Wの長方形とし、図-2のように震源パラメタおよび座標系の正負を決めるものとする。また、kを波数、Yを震央距離とすると、 $kY \gg 1$  の far-field の条件が成立していふものとし、かつ粘性減衰はないものとする。

ダブル・カップルの点震源による Love 波の変位スペクトル  $U_T(\omega)$  は、

$$U_T(\omega) = S(\omega) e^{-\frac{2\pi i}{\lambda} k_r \theta} \chi_L(\theta, h) R_L^{\frac{1}{2}} A_L \frac{e^{-ikr}}{\sqrt{2\pi Y}}$$

ここで下つきのしきよびTは Love および Transverse を意味するものとする。また  $S(\omega)$  は震源時間関数より決まる震源のスペクトル、 $\chi_L(\theta, h)$  は方位角θ、震源深さh、媒質の物性、周期およびモードによつて決まる方位特性、 $R_L$  は波数、 $A_L$  は媒質の物性、周期およびモードによつて決まる Love 波の振幅特性およびYは震央距離である。

Rayleigh 波についても同様にして、動径方向および鉛直方向の変位スペクトルは

$$U_R(\omega) = S(\omega) e^{-\frac{2\pi i}{\lambda} k_r \theta} \chi_R(\theta, h) R_R^{\frac{1}{2}} A_R \frac{e^{-ikr}}{\sqrt{2\pi Y}}$$

$$U_V(\omega) = -\frac{i}{\rho_0 c_0} U_R(\omega)$$

ここで下つきのH、VおよびRはそれぞれ Horizontal, Vertical および Rayleigh を意味するものとする。また、 $\rho_0 c_0$  は媒質の物性、周期およびモードによつて決まる地表面における水平動と鉛直動の振幅比である。

## 3. 南海道大地震の断層モデルと地下構造

本論文では、南海道大地震が起きたと仮定し、上述の点震源の解を使用し、兵庫県明石市における理論波形を求めた。1946年の南海道地震については、図-3のようないわゆるモデルが、金森・安藤らによって提唱されており、これもこれを採用し、震源パラメタについては、安藤の決めたモデル断層面B(断層長さ150km、断層幅70km)

Z <sub>1</sub>	P <sub>1</sub>	C <sub>11</sub>	C <sub>12</sub>	H <sub>1</sub>
Z <sub>2</sub>	P <sub>2</sub>	C <sub>21</sub>	C <sub>22</sub>	H <sub>2</sub>
Z <sub>3</sub>	P <sub>3</sub>	C <sub>31</sub>	C <sub>32</sub>	H <sub>3</sub>
Z <sub>4</sub>	P <sub>4</sub>	C <sub>41</sub>	C <sub>42</sub>	H <sub>4</sub>
Z <sub>5</sub>	P <sub>5</sub>	C <sub>51</sub>	C <sub>52</sub>	H <sub>5</sub>
Z <sub>6</sub>	P <sub>6</sub>	C <sub>61</sub>	C <sub>62</sub>	H <sub>6</sub>

図-1 成層構造モデル

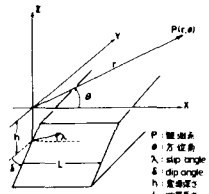


図2 断層のモデル化と座標系

Dip angle  $25^\circ$ , Dip direction  $340^\circ$ ,  $U_d : U_s = 2 : 1$  を用いた。また、断層面の上端までの深さでは、安藤・石橋<sup>3)</sup>の意見を参考にし、4 kmとした。地下構造については、吉井らが図-3の測線について爆破実験によつて決定した断層面付近の構造を考へた。断層の破壊過程は、大地震の場合、相当に複雑であるが、本論文では断層面を100分割し、図-3よりX印で破壊の開始点として破壊のフロントが円形で拡がるものとし(破壊速度  $2.0 \text{ km/sec}$ )上述の解と時間とずらしながら重ね合わすことにより模擬した。断層面全体の地震モーメントは全森の推定した  $1.5 \times 10^{23} \text{ dyne} \cdot \text{cm}$  を使用した。また、

断層面上のすべり量分布は、文献<sup>2)</sup>を参考にして断層滑動方向に三角形分布とした。

#### 4. 計算結果

図-4に計算された変位波形を示す。図-5はすべり量分布を一様分布として計算したものである。南海道地震がすべりの Dip 成分の卓越した海洋性の大地震であることを反映し、UD 成分および NS 成分が大きく励起されていふのがわかる。特に、UD 成分が NS 成分とほぼ比較しうる程度に励起されているのは注目すべきである。一様分布の方は、深い部分でのすべりが効いてかなり変位は大きくなつていい。今、波形を用ひ、加速度応答スペクトルを示すのが図-6である。実線は、本州四国連絡橋公団で採用している基準を示す。8~10秒付近に現にして本州基準と上回る場合に分けてある。本論文では、まだ計算過程における任意性があるので、断続的だることは言ふが、この計算結果によれば、明石海峡大橋の例で横長めの振動一次周期が約23secであるから、本州基準の方が安全側である。図-7は、本州四国連絡橋公団で採用している最大変形量である。図-8および図-9に水平動および鉛直動の変位応答スペクトルを示す。周期8秒程度の所でピークを持ち、水平動で1m、鉛直動で1.5m程度の変位応答がみられる。加速度振幅レベルで、入力が数十ガル程度でも、図-4および図-5に示すように2分程度の継続時間があればこの程度の応答が発生するに注意する必要がある。吊橋の場合、スパンが500 m~700 m程度では、その周期は10 sec足らずとなるため、図-7を参考にすれば、より最大変形量にかなり近くなることも予想される。また、図-6とも関連して、本州の動的応答スペクトルと上回る危険性も考えられよう。本論文では、地下構造は1ケースでしか計算しておらず、また、震源の破壊過程の模擬についてはも、観測記録との比較を考えておくべきであり、その点が今後の課題であろう。<sup>3)</sup>

#### 文献

- 1) 工藤 1978 Microzonation, Boore 1977 2) 宮下, 松浦 1975 地震学会 3) 井上 1980 建築学会 in press

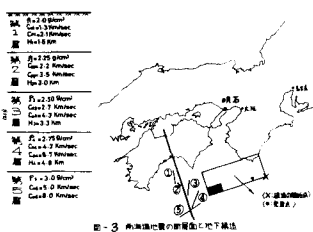


図-3 南海道地震の断層面上の地下構造

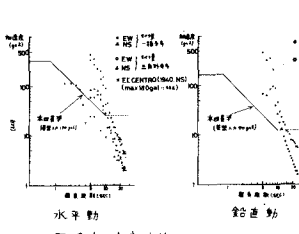
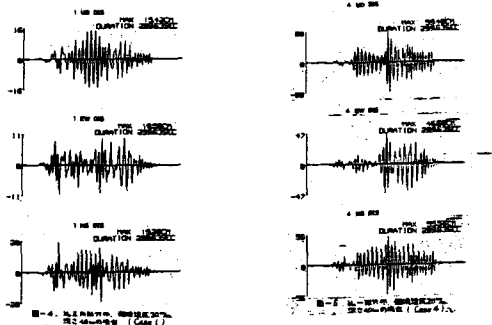


図-6 加速度応答スペクトル ( $h=0.02$ )

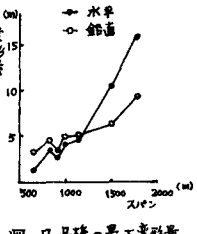


図-7 吊橋の最大変形量

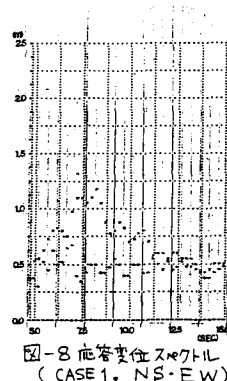


図-8 応答変位スペクトル  
(CASE 1, NS-EW)

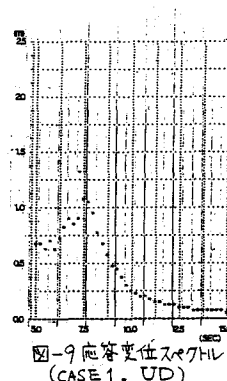


図-9 応答変位スペクトル  
(CASE 1, UD)